

بررسی و تحلیل نتایج آزمایش جدایش مخروط در چسبناکی خاک‌های ریزدانه

حافظه قوه شیخ لو (دانشجوی کارشناسی ارشد)

اکبر جشمی^{*} (دانشیار)

قاسم کاظمی (دانشجوی کارشناسی ارشد)

جعفر حسن پور (دانشیار)

دانشکده‌ی زمین‌شناسی، دانشگاه تهران، پردیس علوم

مهمشی عمان‌شرف، (پاییز ۱۳۹۸)، دوری ۲-۵، شماره ۲/۳، ص. ۱۳۶-۱۴۰، (پادشاهت فقیه)

زمانی که فلز با خاک در تماس است، احتمال چسبیدن خاک به سطح فلز وجود دارد. دستگاه جدایش مخروط با هدف اندازه‌گیری تنش لازم برای جدایش خاک از فلز طراحی شده است. در این دستگاه مخروطی داخل خاک نفوذ کرده و پس از توقف آن برای زمان مشخص نیروی لازم برای جدایش مخروط از خاک اندازه‌گیری می‌شود. در پژوهش حاضر، پس از ساخت دستگاه جدایش مخروط، با ایده گرفتن از نمونه‌های ساخته شده قبلي با انجام ۹۰ آزمایش روی یک نمونه خاک رس مونت‌موریلوبنیت، مقادیر بهینه برای زمان نگهداری، ۵ دقیقه و سرعت جدایش، ۱۵ سانتی‌متر بر دقیقه تعیین شد. سپس با انجام ۶۰ آزمایش دیگر روی دو نمونه رس کاتولینیت، ضریب تغییرات ($C_v = 1/4 \leq 1/24 \leq 1/40 \leq P \leq 1/22$) و شاخص دقت ($1/14 \leq 1/20 \leq 1/10$) محاسبه و مشخص شد که نتایج تکرارپذیر هستند. با افزایش درصد رطوبت، تنش کششی برای هر دو نوع رس کاهش یافته. شبیه منحنی تنش کششی - درصد رطوبت برای رس مونت‌موریلوبنیت ۱/۲۵ و برای کاتولینیت ۰/۸۲ تعیین شد. برای خاک‌هایی با شاخص‌های خمیری متغیر با افزایش شاخص خمیری، تنش کششی افزایش یافته است.

وازگان کلیدی: آزمایش جدایش مخروط، خاک ریزدانه، تنش کششی، درصد رطوبت.

۱. مقدمه

چسبناکی^۱ به تمایل اتصال بین دو ذره‌ی متفاوت به هم‌یگر اطلاق می‌شود. واژه‌ی چسبناکی در مقابل چسبندگی^۲ که به معنای اتصال بین ذرات یک ماده‌ی واحد است، تعریف می‌شود. چسبناکی بین خاک و جسم دیگر می‌تواند حاصل نیروی جذب بین خاک و جسم و اثر آب باشد.^[۱] ساس و بوریام (۲۰۱۶)،^۳ معتقدند که چسبناکی خاک‌ها به نیروهای مولین لایه‌ی نازک بین خاک و سطح جامد وابسته است.^[۲] با توجه به تعریف ذکر شده، تنش چسبناکی^۴، تنش لازم برای جداسازی دو ماده‌ی مختلف از سطح مشترک آن‌هاست؛ در حالی که تنش کششی^۵، بیان‌کننده‌ی مقاومت یک ماده در برابر کشش است. زمانی که یک فلز در تماس با خاک قرار می‌گیرد، هنگام جدا شدن اگر گسیختگی به جای ایجاد در سطح مشترک بین فلز و خاک، درون خاک ایجاد شود، به این معناست که تنش چسبناکی از تنش کششی بزرگ‌تر است.^[۲]

اولین بار چسبناکی در سال ۱۸۳۸ میلادی، به دلیل چسبیدن خاک به ابزار

در کنار پژوهش‌های انجام شده بر روی پروژه‌هایی که با مشکل انسداد موافق بودند، پژوهشگران زیادی به مطالعه‌ی آزمایشگاهی پدیده‌ی اشاره شده و کمی ساختن آن با ابزارهای طراحی شده‌ی مختلف پرداختند. ساس و بوریام (۲۰۰۹)،^۶ برای اندازه‌گیری تنش چسبناکی در مقیاس آزمایشگاهی، دستگاه جدایش پیستون را طراحی و تأثیر

* نویسنده مسئول

تاریخ: دریافت ۲۰ اکتبر ۱۳۹۶، اصلاحیه ۷/۲۴، پذیرش ۱۰ اکتبر ۱۳۹۶.

DOI:10.24200/J30.2017.2228.2140



شکل ۱. بخش‌های مختلف دستگاه جدایش مخروط.



شکل ۲. مراحل انجام آزمایش.

۳. روش انجام آزمایش جدایش مخروط

آزمایش جدایش مخروط در چند مرحله به این شرح انجام می‌شود: مرحله‌ی اول، نفوذ کامل مخروط با سرعت معین به داخل خاک و ثبت تغییرات نیروی لازم برای فرورفتن مخروط به داخل خاک با زمان (شکل ۲ الف). مرحله‌ی دوم، توقف مخروط برای مدت زمان معین (زمان نگهداشت) در داخل خاک فرورفته (شکل ۲ ب). مرحله‌ی سوم، خروج مخروط با سرعت مشخص از خاک و ثبت تغییرات نیروی با زمان در مرحله‌ی جدایش (شکل ۲ ج). مرحله‌ی چهارم، اندازه‌گیری مقدار خاک چسبیده شده به سطح فلز (شکل ۲ د). در شکل ۳، نمودار رسم شده از نتایج یک آزمایش به همراه مراحل انجام آزمایش مشاهده می‌شود. با توجه به نمودار اخیر، می‌توان بیشینه‌ی نتش لازم برای نفوذ مخروط (نتش فشاری)، زمان نگهداشت، بیشینه‌ی نتش لازم برای خروج مخروط (نتش کششی یا نتش چسبناکی) را اندازه‌گیری کرد.

برخی پارامترها، مانند: رطوبت، زمان نگهداشت و فشار واردہ بر پیستون بر مقدار نتش چسبناکی را بررسی کردند.^[۲] برخی پژوهشگران نیز با استفاده از دستگاه جدایش پیستون به بررسی تأثیر ماسه در میزان نتش کششی در خاک رس و تأثیر نوع کانی رسی در میزان نتش چسبناکی پرداختند و نشان دادند که نوع کانی رسی، نقش اصلی در مقدار نتش چسبناکی دارد. همچنین یک روش تجربی برای ارزیابی پتانسیل انسداد با استفاده از داده‌های چسبناکی آزمایشگاهی پیشنهاد کردند.^[۱۰-۱۲] اسپاگنوی و همکاران (۲۰۱۰)،^[۱۰] نیز بیان کردند که در آزمایش جدایش پیستون، فقط امکان اندازه‌گیری مؤلفه‌ی نرمال نتش وجود دارد؛ در حالی که در بسیاری از ابزارهای برش، مؤلفه‌ی نرمال و برشی اثر کرده است، لذا آزمایش جدایش مخروط که قادر به اندازه‌گیری هم زمان دو مؤلفه‌ی مذکور نتش است، را پیشنهاد کردند. علاوه بر آن مقدار خاک چسبیده شده به سطح فلز را به عنوان میزان چسبناکی^[۱۱] معرفی کردند.^[۱۲] همچنین فینیندگان و همکاران (۲۰۱۱)^[۱۲] آزمایش جدایش مخروط را روشنی جدید برای بررسی رفتار خاک‌های ریزدانه در رابطه با پدیده‌ی انسداد معرفی و تأثیر برخی محلول‌ها در کاهش چسبیدن خاک به سطح فلز را مطالعه کردند.^[۱۴] در پژوهش حاضر، با الگوگرفتن از طرح اسپاگنوی و همکارانش، دستگاه جدایش مخروط با هدف اندازه‌گیری نتش کششی، نتش چسبناکی و ارزیابی تجربی وقوع یا عدم وقوع چسبیدن خاک به سطح فلز، طراحی و ساخته شده است. سپس با انجام آزمایش‌های مختلف، ضمن بررسی صحت و تکرارپذیر بودن نتایج به دست آمده، تأثیر برخی عوامل در مقادیر اندازه‌گیری شده بررسی شده است. ضرورت پژوهش حاضر، ساده‌سازی پدیده‌ی چسبیدن خاک به ابزار برش در آزمایشگاه و بررسی برخی عوامل مؤثر در میزان نتش لازم برای جدایش خاک از سطح فلز با درنظر گرفتن مؤلفه‌های نرمال و برشی است.

۲. طراحی و ساخت دستگاه جدایش مخروط

دستگاه جدایش مخروط ساخته شده در پژوهش حاضر، شامل ۳ بخش اصلی است:

۱.۱. بخش اعمال نیرو

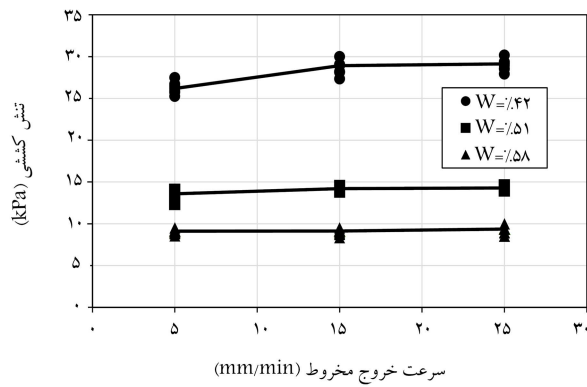
این بخش از یک چهارچوب در بردازده‌ی موتور گیربکس و مخروط فلزی تشکیل شده است. یک مبدل نیز جهت فراهم کردن امکان تعییر سرعت نفوذ مخروط با طرفیت ۱۰۰ تا ۵۰ میلی‌متر بر دقیقه در دستگاه تعییه شده است. مخروط ساخته شده در پژوهش حاضر، زاویه‌ی رأس ۵۸ درجه طبق نظر فینیندگان و همکارانش دارد و از جنس فولاد CK۴۵ آبکاری شده است.^[۱۵]

۱.۲. بخش اندازه‌گیری نیرو

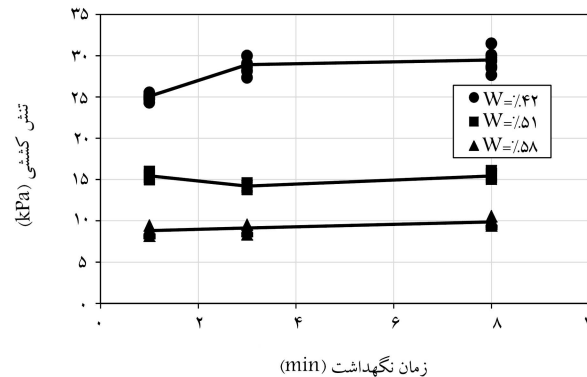
شامل یک سلول اندازه‌گیری نیرو با طرفیت اندازه‌گیری ۱۰۰ کیلوگرم نیرو و با دقت ۱ گرم است. با سلول ذکر شده، امکان اندازه‌گیری نیروی فشار یا کشش حاصل از نفوذ یا خروج مخروط در خاک فراهم می‌شود.

۱.۳. بخش ثبت و نمایش داده‌ها

شامل یک دیتاگر است که نیروی اندازه‌گیری شده توسط سلول نیرو را با دقت ۱ گرم نمایش می‌دهد. در شکل ۱، بخش‌های مختلف دستگاه ساخته شده در پژوهش حاضر نشان داده شده است.



شکل ۴. نمودار تغییر سرعت جداش مخروط در برابر تنش کششی برای نمونه‌ی S1 در درصد رطوبت‌های مختلف.



شکل ۵. نمودار تغییرات زمان نگهداشت در برابر تنش کششی برای نمونه‌ی S1 در درصد رطوبت‌های مختلف.

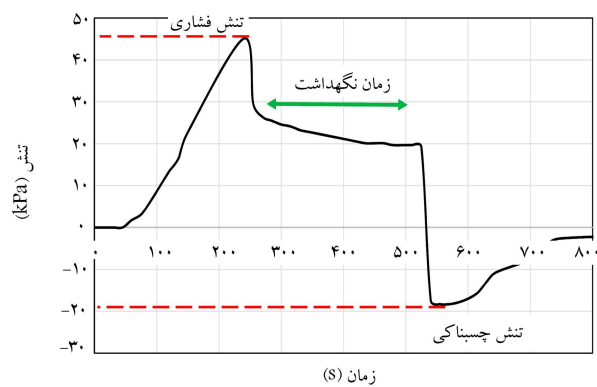
جدایش نیست و می‌تواند به عنوان مقدار بهینه برای انجام آزمایش جداش مخروط در نظر گرفته شود.

۲.۴. تأثیر زمان نگهداشت

هنگامی که مخروط کاملاً وارد خاک می‌شود، پس از گذشت مدت زمان معین، جداش مخروط از خاک آغاز می‌شود؛ بازه‌ی زمانی مشخص مذکور، زمان نگهداشت نامیده می‌شود. برای بررسی تأثیر زمان نگهداشت در تنش کششی اندازه‌گیری شده آزمایش روی نمونه‌ی S1 با زمان‌های نگهداشت ۱، ۳، ۸ و ۲۰ دقیقه انجام شد. نتایج آزمایش در جدول ۳ ارائه شده است. براساس نتایج بدست آمده، شکل ۵ که روند تغییرات تنش کششی در برابر زمان نگهداشت را نشان می‌دهد، ترسیم شده است. که مطابق آن، روند تغییرات تنش کششی با افزایش زمان نگهداشت، روند صعودی دارد؛ لیکن به ازاء زمان نگهداشت بیشتر از ۳ دقیقه، تغییرات آن جزئی است. بر این اساس برای انجام آزمایش‌های بعدی، زمان نگهداشت ۵ دقیقه به عنوان زمان بهینه در نظر گرفته شده است.

۵. بررسی تکرارپذیری نتایج بدست آمده از آزمایش جداش مخروط

بعد از تعیین مقدار بهینه برای زمان نگهداشت و سرعت جداش مخروط که به عنوان دو متغیر در مقدار تنش کششی اندازه‌گیری شده تأثیرگذار هستند؛ به



شکل ۳. نمودار تنش فشاری و کششی در مقابل زمان برای رطوبت ۵۰٪ مربوط به نمونه‌ی S2.

جدول ۱. ویژگی‌های نمونه‌های خاک استفاده شده در پژوهش حاضر.

| نام نمونه | S3 | S2 | S1 |
|-----------------|----|----|----|
| حد روانی | ۴۸ | ۵۰ | ۸۳ |
| حد خمیری | ۲۹ | ۳۰ | ۳۵ |
| شاخص خمیری | ۱۹ | ۲۰ | ۴۸ |
| طبقه‌بندی متحده | CL | MH | CH |

۴. تعیین بهینه‌ی زمان نگهداشت و سرعت جداش مخروط

زمان نگهداشت و سرعت جداش مخروط، دو پارامتر مربوط به دستگاه هستند و در مقادیر تنش کششی اندازه‌گیری شده در آزمایش تأثیرگذارند؛ بدین منظور جهت بررسی تأثیر دو متغیر ذکر شده و تعیین مقادیر بهینه برای آن‌ها، یک نمونه خاک رس چاق (نمونه‌ی S1) انتخاب شد. مشخصات نمونه‌ی S1 در جدول ۱ ارائه شده است. با تغییر در درصد رطوبت نمونه‌ی S1، سه نمونه با رطوبت‌های ۴۲، ۵۱ و ۵۸ درصد از آن ساخته شد. سپس آزمایش جداش مخروط با سه زمان نگهداشت و سه سرعت جداش مختلف بر روی هر نمونه‌ی تولید شده انجام شد. به منظور بررسی تکرارپذیر بودن نتایج، هر آزمایش ۱۵ مرتبه تکرار شد.

۱.۴. تأثیر سرعت جداش مخروط

آزمایش جداش مخروط با سه سرعت جداش مختلف ۵، ۱۵ و ۲۵ میلی‌متر بر دقیقه، بر روی هر نمونه‌ی تولید شده از نمونه‌ی S1 انجام شد. در جدول ۲، نتایج بدست آمده از آزمایش‌های انجام شده بر روی نمونه‌ی S1 ارائه شده است. با توجه به نتایج بدست آمده، شکل ۴ ترسیم شده است که تأثیر سرعت جداش را در مقدار نیروی لازم برای جداش مخروط از خاک (تنش کششی) نشان می‌دهد.

همان‌طور که در شکل ۴ ملاحظه می‌شود، هر چند تغییرات جزئی در مقدار تنش کششی در سرعت‌های کمتر از ۱۵ میلی‌متر بر دقیقه وجود دارد، ولی در محدوده‌ی سرعت جداش بیشتر از ۱۵ تا ۲۵ میلی‌متر بر دقیقه، تغییر قابل توجهی در مقدار تنش کششی اندازه‌گیری شده مشاهده نشده است. بنابراین می‌توان گفت تنش کششی برای سرعت‌های بیشتر از ۱۵ میلی‌متر بر دقیقه، تابعی از سرعت

جدول ۲. مقادیر تنش کششی به ازاء سرعت جدایش مخروط و درصد رطوبت‌های مختلف با پارامترهای آماری محاسبه شده برای نمونه‌های S1-S9.

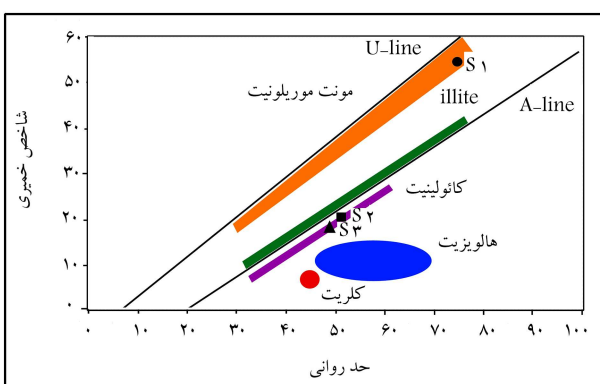
| P | t_β | $Cv\%$ | S | N | زمان نگهداشت (min) | سرعت جدایش (mm/min) | تنش کششی (kPa) | | درصد رطوبت | نام نمونه |
|------|-----------|--------|------|----|--------------------|---------------------|----------------|--------------|------------|------------|
| | | | | | | | میانگین | کمینه بیشینه | | |
| ۱,۰۱ | ۲,۲۶ | ۳,۵ | ۰,۹۲ | ۱۰ | | | ۲۶,۱۸ | ۲۵,۲۴ | ۲۷,۴۷ | ۴۲ S1-۱ |
| ۱,۰۲ | ۲,۲۶ | ۳,۲۲ | ۰,۴۴ | ۱۰ | ۳ | ۵ | ۱۳,۵۹ | ۱۳,۰۵ | ۱۴,۱۲ | ۵۱ S1-۲ |
| ۱,۰۳ | ۲,۲۶ | ۴,۲۲ | ۰,۳۸ | ۱۰ | | | ۹,۱۲ | ۸,۵۸ | ۹,۵۲ | ۵۸ S1-۳ |
| ۱,۰۴ | ۲,۲۶ | ۲,۷۴ | ۰,۷۹ | ۱۰ | | | ۲۸,۹۱ | ۲۷,۳۴ | ۲۹,۹۸ | ۴۲ S1-۴ |
| ۱,۰۳ | ۲,۲۶ | ۱,۸۰ | ۰,۲۶ | ۱۰ | ۳ | ۱۵ | ۱۴,۲۰ | ۱۳,۰۸ | ۱۴,۵۶ | ۵۱ S1-۵ S1 |
| ۱,۰۵ | ۲,۲۶ | ۳,۲۲ | ۰,۲۹ | ۱۰ | | | ۹,۱۳ | ۸,۳۵ | ۹,۵۱۲ | ۵۸ S1-۶ |
| ۱,۰۱ | ۲,۲۶ | ۳,۱۳ | ۰,۹۱ | ۱۰ | | | ۲۹,۱۴ | ۲۷,۹۲ | ۳۰,۱۶ | ۴۲ S1-۷ |
| ۱,۰۲ | ۲,۲۶ | ۱,۹۱ | ۰,۲۷ | ۱۰ | ۳ | ۲۵ | ۱۴,۲۹ | ۱۳,۹۴ | ۱۴,۶۱ | ۵۱ S1-۸ |
| ۱,۰۳ | ۲,۲۶ | ۶,۴۵ | ۰,۶۰ | ۱۰ | | | ۹,۳۷ | ۸,۵۳ | ۱۰,۰۱ | ۵۸ S1-۹ |

P شاخص دقت، N تعداد آزمایش، t_β ضریب اطمینان، Cv ضریب تعییرات، S انحراف معیار

جدول ۳. مقادیر تنش کششی به ازاء زمان نگهداشت‌های مختلف با پارامترهای آماری محاسبه شده برای نمونه‌ی S1.

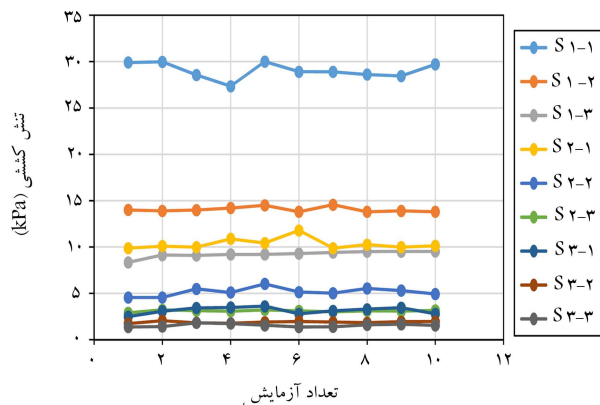
| P | t_β | $Cv\%$ | S | N | زمان نگهداشت (min) | سرعت جدایش (mm/min) | تنش کششی (kPa) | | درصد رطوبت | نام نمونه |
|------|-----------|--------|------|----|--------------------|---------------------|----------------|--------------|------------|------------|
| | | | | | | | میانگین | کمینه بیشینه | | |
| ۱,۰۲ | ۲,۲۶ | ۱,۴۰ | ۰,۳۵ | ۱۰ | | | ۲۵,۰۹۱ | ۲۴,۳ | ۲۵,۵۱ | ۴۲ S1-۱ |
| ۱,۰۳ | ۲,۲۶ | ۱,۹۰ | ۰,۲۹ | ۱۰ | ۱ | | ۱۵,۴۶ | ۱۵,۰ | ۱۵,۹۵ | ۵۱ S1-۲ |
| ۱,۰۷ | ۲,۲۶ | ۴,۵۰ | ۰,۴۰ | ۱۰ | | | ۸,۸۱ | ۸,۱۷ | ۹,۴۳ | ۵۸ S1-۳ |
| ۱,۰۴ | ۲,۲۶ | ۳,۵۰ | ۰,۷۹ | ۱۰ | | | ۲۸,۹۱ | ۲۷,۳ | ۲۹,۹۸ | ۴۲ S1-۴ |
| ۱,۰۳ | ۲,۲۶ | ۳,۲۲ | ۰,۲۶ | ۱۰ | ۳ | ۱۵ | ۱۴,۲۰ | ۱۳,۸ | ۱۴,۵۷ | ۵۱ S1-۵ S1 |
| ۱,۰۵ | ۲,۲۶ | ۴,۲۲ | ۰,۲۹ | ۱۰ | | | ۹,۱۳ | ۸,۳۵ | ۹,۵۲ | ۵۸ S1-۶ |
| ۱,۰۷ | ۲,۲۶ | ۴,۷۰ | ۱,۲۵ | ۱۰ | | | ۲۹,۴۹ | ۲۷,۶ | ۳۱,۴۵ | ۴۲ S1-۷ |
| ۱,۰۳ | ۲,۲۶ | ۱,۸۰ | ۰,۲۸ | ۱۰ | ۸ | | ۱۵,۴۴ | ۱۵,۰ | ۱۶,۰۴ | ۵۱ S1-۸ |
| ۱,۰۷ | ۲,۲۶ | ۴,۴۰ | ۰,۴۴ | ۱۰ | | | ۹,۸۶ | ۹,۴۲ | ۱۰,۵۴ | ۵۸ S1-۹ |

P شاخص دقت، N تعداد آزمایش، t_β ضریب اطمینان، Cv ضریب تعییرات، S انحراف معیار



شکل ۶. محل قرارگیری ۳ نمونه‌ی آزمایش شده در پژوهش حاضر بر روی نمودار کاساگرانده. بر این اساس نمونه‌ی S1 در محدوده‌ی مونت‌موریلوئیت و نمونه‌های S2 و S3 در محدوده‌ی کائولینیت قرار می‌گیرند.

منظور بررسی تکرارپذیری نتایج به دست آمده از آزمایش جدایش مخلوط، علاوه بر نمونه‌ی S1، دو نمونه‌ی خاک ریزدانه دیگر (S2 و S3) با مشخصات ارائه شده در جدول ۱ آمده شدند. درصد فلواونی کانی‌های مختلف در ترکیب شیمیایی نمونه‌های آزمایش شده در جدول ۴ ارائه شده است. با توجه به شاخص خمیری و حد روانی ۳ نمونه که در جدول ۱ ارائه شده است، در شکل ۶ محل قرارگیری سه نمونه در نمودار کاساگرانده نشان داده شده است. با توجه به محل قرارگیری نمونه‌ها (نمونه‌ی S1 در محدوده‌ی مونت‌موریلوئیت و نمونه‌های S2 و S3 در محدوده‌ی کائولینیت قرارگرفته‌اند) و انتساب محل‌های ذکور با آنالیزهای شیمیایی انجام شده بر روی نمونه‌های S1 و S3 (که در جدول ۴ ارائه شده است)، می‌توان گفت ترکیب کانی‌شناسی نمونه‌ی S2 شبیه به نمونه‌ی S3 است. از آنجا که ویژگی‌های مکانیکی خاک‌های ریزدانه متأثر از درصد رطوبت آن هاست؛ لذا آزمایش‌های بعدی روی نمونه‌های جدول ۱ با درصد رطوبت‌های مختلف انجام شد.



شکل ۷. بررسی تکرارپذیری نتایج به دست آمده از آزمایش جدایش مخروط با توجه به ۹۰ آزمایش انجام شده بر روی ۳ نمونه با رطوبت‌های مختلف.

ضریب تغییرات، Cv ، با استفاده از رابطه‌ی ۱ محاسبه شد:

$$(1) Cv = S/M$$

که در آن، Cv ضریب تغییرات، S انحراف معیار و M میانگین داده‌هاست. با توجه به جدول‌های ۲، ۳ و ۵، ضریب تغییرات برای آزمایش‌های انجام شده بین ۱۰ تا ۱۲/۴۹ ۱/۴۰ است. طبق نظر دانکن^{۱۴}، دامنه‌ی تغییرات این ضریب برای پارامترهای مختلف خاک می‌تواند بین ۱۳ تا ۴۰ درصد باشد^{۱۵}. بر این اساس می‌توان گفت که ابزار مذکور قادر است مقادیر قابل قبولی از تنش کششی به دست دهد.

در روش دوم، شاخص دقت^{۱۶}، از طریق رابطه‌ی ۲ محاسبه شد، که در آن، M میانگین داده‌ها، S انحراف معیار، n تعداد نمونه‌ها و $t\beta$ ضریب اطمینان است که با استفاده از توزیع تی - استیودنت^{۱۶}، براساس تعداد نمونه و ضریب تغییرات برای سطح اعتماد ۹۵٪ بدست می‌آید:

جدول ۵. مقادیر تنش کششی به ازاء درصد رطوبت‌های مختلف با پارامترهای آماری محاسبه شده برای نمونه‌های S1، S2، S3.

| نام نمونه | درصد رطوبت | تنش کششی (kPa) | | | | | | | |
|-----------|------------|----------------|--------|-------|--------------------|------|------|-------|------|
| | | میانگین | بیشینه | کمینه | ساعت جدایش | | | | |
| | | | | | زمان نگهداری (min) | | | | |
| | | | | | (mm/min) | | | | |
| S1-1 | ۴۲ | ۲۸/۹۵ | ۲۷/۵۰ | ۳۰/۰۰ | ۱۰ | ۰/۸۰ | ۲/۲۶ | ۲/۸۰ | ۱/۰۴ |
| S1-2 | ۵۱ | ۱۴/۲۵ | ۱۳/۱۰ | ۱۴/۶۰ | ۱۰ | ۰/۲۵ | ۲/۲۶ | ۱/۹۰ | ۱/۰۳ |
| S1-3 | ۵۸ | ۹/۲۰ | ۸/۴۰ | ۹/۵۱ | ۱۰ | ۰/۳۰ | ۲/۲۶ | ۳/۳۰ | ۱/۰۵ |
| S2-1 | ۳۰ | ۱۱/۷۸ | ۹/۸۷ | ۱۳/۶۷ | ۱۰ | ۱/۵۳ | ۲/۲۶ | ۱۳/۰۲ | ۱/۲۲ |
| S2-2 | ۴۰ | ۵/۲۹ | ۴/۵۶ | ۶/۰۳ | ۱۰ | ۰/۵۴ | ۲/۲۶ | ۱۰/۲۱ | ۱/۱۷ |
| S2-3 | ۵۰ | ۳/۱۱ | ۲/۹۰ | ۳/۲۲ | ۱۰ | ۰/۱۲ | ۲/۲۶ | ۳/۷۰ | ۱/۰۶ |
| S3-1 | ۳۰ | ۳/۲۳ | ۲/۵۰ | ۳/۶۲ | ۱۰ | ۰/۴۰ | ۲/۲۶ | ۱۲/۴۹ | ۱/۲۱ |
| S3-2 | ۴۰ | ۱/۸۵ | ۱/۷۴ | ۲/۰۶ | ۱۰ | ۰/۱۲ | ۲/۲۶ | ۶/۴۹ | ۱/۱۰ |
| S3-3 | ۵۰ | ۱/۶۰ | ۱/۳۸ | ۱/۸۳ | ۱۰ | ۰/۱۷ | ۲/۲۶ | ۱۰/۸۵ | ۱/۱۸ |

P شاخص دقت، N تعداد آزمایش، $t\beta$ ضریب اطمینان، Cv ضریب تغییرات، S انحراف معیار

جدول ۴. کانی‌های تشکیل دهنده‌ی نمونه‌های S1 و S3 براساس آنالیز XRD.

| نام کانی | درصد رطوبت | |
|-----------------|------------|----|
| | S2 | S1 |
| کاتولونیت | ۶۱ | ۳ |
| کریستالیت | ۰ | ۱۸ |
| کلینوپیتلولیت | ۰ | ۳ |
| مونت‌موریلوبنیت | ۰ | ۳۱ |
| کوارتز | ۳۱ | ۱۲ |
| فلدسبار | ۰ | ۲۴ |
| کلسیت | ۳ | ۷ |

در جدول ۵، درصد رطوبت‌های مربوط به نمونه S1 که به ترتیب ۴۲، ۵۱ و ۵۸ است و درصد رطوبت‌های مربوط به نمونه‌های S2 و S3 که به ترتیب ۳۰ و ۴۰ است، ارائه شده است. با توجه به آزمایش‌های انجام شده بر روی نمونه S1، زمان نگهداری ۵ دقیقه و سرعت جدایش ۱۵ میلی‌متر بر ثانیه برای انجام آزمایش‌های مذکور در نظر گرفته شد. به منظور بررسی تکرارپذیری نتایج به دست آمده، هر آزمایش ۱۰ بار تکرار شد. با توجه به تعداد نمونه‌ها (سه نمونه) و انجام آزمایش با سه رطوبت مختلف در مجموع ۹۰ آزمایش جدایش مخروط انجام شد. در شکل ۷، مقادیر تنش کششی اندازه‌گیری شده روی هر نمونه به همراه نتایج ۱۰ بار تکرار آن نشان داده شده است که مطابق آن، دامنه‌ی تغییرات مقادیر اندازه‌گیری شده برای نمونه‌های با رطوبت‌های یکسان، بسیار کم است.

در مرحله‌ی بعد با استفاده از پارامترهای آماری تکرارپذیری نتایج بررسی شدند، که در آن، مقادیر تنش کششی کمینه، بیشینه، میانگین و سایر پارامترهای آماری مربوط به آزمایش‌های انجام شده استخراج شدند. مقادیر مذکور در جدول‌های ۳، ۲ و ۵ ارائه شده‌اند. تکرارپذیری نتایج از طریق دو روش بررسی شد. در روش اول،

۷. بحث

چسبیدن خاک به سطح فلز یکی از مشکلاتی است که در ابزار برش به وجود می‌آید. لذا برای برطرف ساختن مشکل اشاره شده و بررسی عوامل مؤثر در آن، از دستگاه جدایش مخروط در آزمایشگاه استفاده شده است. با تغیر عوامل تأثیرگذار در نتایج آزمایش، شامل: سرعت جدایش، زمان نگهداشت، درصد رطوبت، نوع خاک و تکرار آزمایش‌ها، ضریب تغییرات بین $1/4$ تا $1/2$ و شاخص دقت بین $1/0$ تا $1/2$ به دست آمد که نشان می‌دهد نتایج بدست آمده تکرارپذیر هستند و دستگاه جدایش مخروط، به عنوان یک ابزار آزمایشگاهی جهت اندازه‌گیری تنش کششی، در محدوده‌ی فعالیت‌های عمرانی و پژوهشی قابل استفاده است.

سرعت جدا شدن مخروط از خاک بر تنش کششی اندازه‌گیری شده، تأثیر مستقیم دارد. در خاک‌های رسی با حد خمیری بالا (نظریه مونت‌مولینیت) شبیب این تغییرات بیشتر از رس‌های با حد خمیری پایین (نظریه کائولینیت) است. لیکن برای هر دو نوع خاک به ازاء سرعت جدایش بیشتر از ۱۵ میلی‌متر بر دقیقه، تغییری در تنش کششی اتفاق نمی‌افتد. با افزایش زمان نگهداشت، تنش کششی برای جدا شدن مخروط از خاک افزایش می‌یابد، لیکن در رس‌های با حد خمیری بالا، شبیب تغییرات بیشتر از رس‌های با حد خمیری پایین است. زمان نگهداشت در تنش کششی اندازه‌گیری شده، مؤثر و تابع نوع رس نیز بوده است، به طوری که برای رس‌های با حد خمیری بالا، اثر تغییرات زمان نگهداشت در تنش کششی بیشتر از رس‌های با حد خمیری پایین تراست. برای زمان‌های نگهداشت بیشتر از ۳ دقیقه، برای هر دو نوع رس، زمان نگهداشت تأثیری در تنش کششی ندارد. این موضوع به خوبی روشن می‌کند که متغیرهای مربوط به دستگاه در مقادیر تنش کششی اندازه‌گیری شده تأثیر دارد. با توجه به تفاوت کانی‌شناسی رس‌های آزمایش شده در پژوهش حاضر روشن است که تفاوت در ترکیب شیمیایی، عامل اصلی وجود رفتارهای متفاوت است.

تغییر محتوای رطوبت خاک به عنوان یک عامل غیروابسته به دستگاه نشان داد که با افزایش محتوای رطوبت، تنش کششی کاهش می‌یابد. هر چند برای سادگی، روابط تجربی و خطی بین تنش کششی و درصد رطوبت طبیعی برای سه نوع خاک پیشنهاد شد، لیکن تغییرات آن‌ها خطی نیست و با افزایش درصد رطوبت، شبیب تغییرات کم می‌شود. برای مثال در نمونه‌ی مونت‌مولینیت در رطوبت ۵۰ درصد، شبیب تغییرات تنش کششی با درصد رطوبت کاهش می‌یابد. این بدان معناست که با نرم شدن خاک تأثیرپذیری تنش کششی از رطوبت، کاهش می‌یابد. ترکیب شیمیایی و کانی‌شناسی به عنوان متغیر دیگر غیروابسته به دستگاه در مقادیر اندازه‌گیری شده تأثیر دارد. برای مونت‌مولینیت با حد خمیری 48 ، شبیب منحنی تنش کششی به درصد رطوبت خیلی بیشتر از کائولینیت با حد خمیری 19 است. رطوبت موجود در خاک از یک طرف باعث نرم شدن خاک می‌شود و از طرف دیگر با ایجاد لایه‌ی نازک بین خاک و مخروط، نقش روانکاری را بازی می‌کند؛ لذا در کم شدن تنش کششی اندازه‌گیری شده تأثیر دارد. پرواضح است با انجام آزمایش‌های بیشتر در محدوده‌های رطوبتی متفاوت، امکان تدقیق نتایج وجود دارد.

۸. نتیجه‌گیری

دستگاه جدایش مخروط به منظور اندازه‌گیری تنش کششی و چسبناکی خاک به سطح فلز، طراحی و ساخته شده است. ویژگی بارز و نقطه‌ی قوت دستگاه جدایش

$$P = \frac{M + t\beta \frac{S}{\sqrt{n-1}}}{M - t\beta \frac{S}{\sqrt{n-1}}} \quad (2)$$

با توجه به مقادیر ارائه شده در جدول‌های ۲ ، ۳ و ۵ شاخص دقت در آزمایش‌های انجام شده بین $۱/۰$ تا $۱/۲$ است. شاخص دقت ضمن تأیید تکرارپذیر بودن نتایج نشان می‌دهد که دستگاه طراحی شده برای اندازه‌گیری پارامترهای مذکور در حد فعالیت‌های پژوهشی، دقت لازم را دارد.

۶. تأثیر درصد رطوبت

از آنجاکه آزمایش‌های انجام شده بروی سه نمونه خاک ریزدانه با درصد رطوبت‌های مختلف انجام شده است؛ لذا با توجه به داده‌های جدول‌های ۲ و ۵ ، امکان بررسی تأثیر رطوبت در میزان تنش کششی اندازه‌گیری شده در سه نمونه‌ی آزمایش شده فراهم شده است. در شکل ۸ ، منحنی تغییرات تنش کششی در مقابل درصد رطوبت برای سه نمونه خاک ریزدانه مشاهده می‌شود.

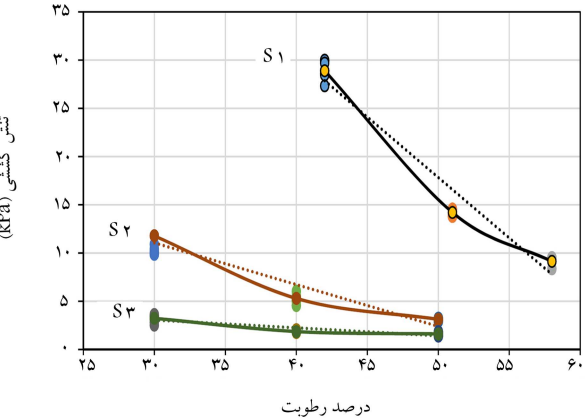
همان‌طور که در بخش قبل ذکر شد، هر آزمایش 10 بار تکرار شده است. برای هر نمونه خاک ریزدانه، امکان پیشنهاد رابطه‌ی تجربی (روابط ۳ الی ۵) بین تنش کششی برای جدایش مخروط و درصد رطوبت طبیعی با ضریب تعیین بالاتر از $0/86$ وجود دارد:

$$\text{نمونه‌ی S1: } T(kPa) = -1,25\omega + 80,58 \quad R^2 = 0,96 \quad (3)$$

$$\text{نمونه‌ی S2: } T(kPa) = -0,43\omega + 24,07 \quad R^2 = 0,92 \quad (4)$$

$$\text{نمونه‌ی S3: } T(kPa) = -0,082\omega + 5,49 \quad R^2 = 0,86 \quad (5)$$

که در آن‌ها، T تنش کششی بر حسب کیلوپاسکال و ω درصد رطوبت است. روابط مذکور برای خاک مشخص و در محدوده‌ی رطوبت‌های ذکر شده معتبر است. شکل ۸ و روابط ۳ الی ۵ ، نشان می‌دهند که ارتباط تنش کششی با رطوبت رابطه‌ی عکس است؛ به طوری که با افزایش رطوبت، تنش کششی کاهش یافته است. از طرف دیگر، برای خاک‌های ریزدانه‌ی مختلف، مقادیر تنش کششی اندازه‌گیری شده متفاوت است.



شکل ۸. نمودار تغییرات درصد رطوبت در برابر تنش کششی در نمونه‌های S1، S2 و S3

استفاده از روش‌های آماری مشخص شد که نتایج به دست آمده از آزمایش در حد فعالیت‌های پژوهشی، دقت لازم را دارد و تکرارپذیر هستند. با توجه به متفاوت بودن خصوصیات خمیری، سه نمونه خاک ریزدانه آزمایش شدند و با تغییر درصد رطوبت هر نمونه، تأثیر نوع خاک ریزدانه و درصد رطوبت در تنش کششی اندازه‌گیری شده بررسی و مشخص شد که برای سه نمونه آزمایش شده با افزایش درصد رطوبت، تنش کششی کاهش می‌یابد و تنش لازم برای جدایش برای نمونه‌های با حد روانی و شاخص خمیری بالا بیشتر است. شبیه‌تعییرات تنش کششی در مقابل درصد رطوبت برای نمونه‌های با حد روانی و شاخص خمیری بالا بیشتر است. افزایش مقدار آب در سطح تماس بین ذرات خاک می‌تواند دلیلی برای کاهش تنش کششی اندازه‌گیری شده باشد.

مخروط در کنار سادگی، امکان اندازه‌گیری قوام مؤلفه‌ی مماسی و کششی در هنگام جداش است. معمولاً در ابزار برش، مؤلفه‌های مذکور به صورت توانان عمل می‌کنند؛ لیکن عدم تفکیک اینکه چه بخشی از تنش اندازه‌گیری شده متعلق به مؤلفه مماسی و چه بخشی متعلق به مؤلفه کششی است، محدودیت ابزار مذکور است. در پژوهش حاضر با انجام چند آزمایش روی یک نمونه خاک رس مشخص، تأثیر سرعت جداش و زمان نگهداری تنش به عنوان دو متغیر وابسته به دستگاه در تنش کششی اندازه‌گیری شده بررسی شد و زمان نگهداری ۵ دقیقه و سرعت جداش ۱۵ میلی‌متر در دقیقه به عنوان مقادیر بهینه برای انجام آزمایش پیشنهاد شد. دقت و تکرارپذیر بودن نتایج به دست آمده از دستگاه جداش مخروط با انجام بیش از ۹۰ آزمایش روی سه نمونه خاک ریزدانه با خصوصیات خمیری متفاوت بررسی شد و با

پانوشت‌ها

1. adhesion
2. cohesion
3. Sass & Burbaum
4. adhesion stress
5. tension stress
6. clogging
7. Geodata
8. Thewes & Burger
9. Hollman & Thewes
10. Spagnoli et al.
11. adherence
12. Feinendegen et al.
13. coefficient of variation
14. Duncan
15. accuracy index
16. T-student

منابع (References)

1. Fountaine, G. "Investigations into the mechanisms of soil adhesion", *Journal of Soil Science*, **5**(2), pp. 251-263 (1954).
2. Burbaum, U. and Sass, I. "Physics of adhesion of soils to solid surfaces", *Bulletin of Engineering Geology & The Environment*, **76**(3), pp. 1097-1105 (Apr., 2016).
3. Feinendegen, M., Zeigler, M., Spagnoli, G. and et al. "A new laboratory test to evaluate the problem of clogging in mechanical tunnel driving with EPB-shields", *Rock Mechanics in Civil and Environment Engineering*, J. Zhao, Ed, Eurock, pp. 429-432 (2010).
4. Sass, I. and Burbaum, V. "A method for assessing adhesion of clays to tunneling machines", *Bulletin of Engineering Geology & the Environment*, **68**(1), pp. 27-34 (2009).
5. Geodata, S. "Review of alternative construction methods and feasibility of proposed methods for constructing Attiko metro extension of line 3 to egaleo", Attiko metro SA, pp. 191-193 (1995).
6. Thewes, M. and Burger, W. "Clogging of TBM drives in clay-identification and mitigation of risks", Edrem and Solak (eds) *Underground Space Uses*, pp. 737-742 (2005).
7. Hollmann, F. and Thewes, M. "Assessment method for clay Clogging and distintegration of fines in mechanised tunnelling", *Tunnelling and Underground Space Technology*, **37**, pp. 96-106 (2013).
8. Hollmann, F., Thewes, M. and Weh, M. "Influence of clogging the muck transport in shield machines", *Hauptbeitrage*, **3**, pp. 10-19 (2014).
9. Hollmann, F. and Thewes, M. "Assessment of clay soils and clay-rich rock for Clogging of TBMs", *Tunnelling and Underground Space Technology*, **57**, pp. 122-128 (2016).
10. Karami azandarani, Y., Cheshomi, A., Khabbazi Basmenj, A. and et al. "Influence of water and sand content on adhesion of clayey soils", *Journal of Geopersia*, **5**(1), pp. 55-92 (2015).
11. Khabbazi Basmenj, A., Ghafoori, M., Cheshomi, A. and Azandarani Y.K. "Adhesion of clay to metal surfaces; normal and tangential measurement", *Geomechanics Eng.*, **10**(2), pp. 125-135 (2016).
12. Khabbazi Basmenj, A., Ghafoori, M. and Cheshomi, Tarigh Azali, S., "Experimental and laboratory assessment of clogging potential based on adhesion", *Bulletin of Engineering Geology & The Environment*, **78**(1), pp. 605-616 (2017).
13. Spagnoli, G., Fernandez-steeger, T., Azzam, R. and et al. "Investigation of adherence behaviour and related effects on different scales in mechanical tunnel driving" ,

- Proc.Underground Construction Prague 2010, Transport and City Tunnels, ITA-AITES, pp. 692-699 (2010).
14. Feinendegen, M., Ziegler, M., Spagnoli, G. and et al. "Evaluation of the clogging potential in mechanical tunnel driving with EPB-shields", *Proceedings of the 15th European Conference on Soil Mechanics and Geotechnical Engineering*, pp. 1633-1638 (2011).
15. Duncan, J.M. "Factors of Safety and Reliability in Geotechnical Engineering", *Journal of Geotechnical and Geoenvironmental Engineering*, **126**(4) pp. 307-316 (2000).
16. Gill, D.E., Corthesy, R. and Leite, M.H. "Determining minimal number of specimens for laboratory testing of rock properties", *Engineering Geology*, **78**(1-2), pp. 29-51 (2005).